

**ВОЛОЧЕНИЕ ТОНКОСТЕННОЙ ТРУБЫ
ЧЕРЕЗ КОНИЧЕСКУЮ МАТРИЦУ**

ПОД Д. Н.

В [1] рассматривается установившееся и неустановившееся волочение тонкостенной трубы из изотропного неупрочняющегося материала при отсутствии сил трения между заготовкой и инструментом. Анализ установившегося волочения тонкостенной трубы из изотропного неупрочняющегося материала через коническую матрицу с учетом сил трения между заготовкой и инструментом сделан в [2], а в [3] рассмотрена эта же задача для изотропного упрочняющегося материала. В [4] с применением теории течения Мизеса – Хилла проведено исследование установившегося и неустановившегося волочения тонкостенной трубы из анизотропного неупрочняющегося материала при отсутствии сил трения между заготовкой и инструментом.

1. Рассмотрим установившееся волочение тонкостенной трубы из анизотропного упрочняющегося материала через коническую матрицу с учетом сил трения между заготовкой и инструментом. Материал считается подчиняющимся закону текучести Мизеса – Хилла, упрочнение принимается изотропным. Воспользуемся безмоментной теорией конических оболочек переменной толщины, внеконтактная деформация не учитывается, напряженное состояние принимается плоским. Трение учитывается по закону Амонтона – Кулона.

При волочении тонкостенной трубы главные оси напряжений совпадают с осями анизотропии, условие пластичности и уравнения течения [5] принимают вид

$$\begin{aligned} F\sigma_y^2 + G\sigma_x^2 + H(\sigma_x - \sigma_y)^2 &= 1 \\ d\varepsilon_x = d\lambda[H(\sigma_x - \sigma_y) + G\sigma_x] \end{aligned} \quad (1.1)$$

$$d\varepsilon_y = d\lambda[F\sigma_y + H(\sigma_y - \sigma_x)], \quad d\varepsilon_z = -d\lambda(G\sigma_x + F\sigma_y) \quad (1.2)$$

где σ_x и σ_y – нормальные напряжения в осях анизотропии, $d\varepsilon_x$, $d\varepsilon_y$ и $d\varepsilon_z$ – приращения деформаций в осях анизотропии, F , G и H – параметры анизотропии, $d\lambda$ – коэффициент пропорциональности.

Формулы интенсивностей напряжений и приращений деформаций по теории энергетического упрочнения [5] принимают соответственно вид

$$\sigma_i = (3/2)^{1/2}(F+G+H)^{-1/2}[F\sigma_y^2 + G\sigma_x^2 + H(\sigma_x - \sigma_y)^2]^{1/2} \quad (1.3)$$

$$\begin{aligned} d\varepsilon_i &= (2/3)^{1/2}(F+G+H)^{1/2}(FG+GH+HF)^{-1/2}[F(Gd\varepsilon_y - Hd\varepsilon_z)^2 + G(Hd\varepsilon_z - \\ &- Fd\varepsilon_x)^2 + H(Fd\varepsilon_x - Gd\varepsilon_y)^2]^{1/2} \end{aligned} \quad (1.4)$$

Для упрочняющегося материала параметры анизотропии и коэффициент $d\lambda$ изменяются по мере деформации. При изотропном упрочнении отношения параметров анизотропии остаются неизменными.

Совместим оси анизотропии x , y и z соответственно с меридиональным и окружным направлениями и нормалью к поверхности трубы. Из уравнения (1.3) находим

$$\begin{aligned} \sigma_{\theta 1} &= \sigma_{m1}H(F+H)^{-1} \pm [(2/3)(F+G+H)(F+H)^{-1} - \sigma_{m1}^2(FG+GH+HF)(F+H)^{-2}]^{1/2}, \\ \sigma_{m1} &= \sigma_m/\sigma_i, \quad \sigma_{\theta 1} = \sigma_\theta/\sigma_i \end{aligned} \quad (1.5)$$

где σ_m , σ_θ – меридиональное и окружное нормальные напряжения, σ_{m1} , $\sigma_{\theta 1}$ – относительные меридиональное и окружное нормальные напряжения. В формуле (1.5) знак «плюс» относится к процессам раздачи и протяжки, а знак «минус» – к процессам волочения и обжима.

Из выражений (1.2) получаем

$$d\varepsilon_z = -\psi_1 d\varepsilon_\theta, \quad d\varepsilon_m = (\psi_1 - 1) d\varepsilon_\theta \quad (1.6)$$

$$\psi_1 = (G\sigma_{m1} + F\sigma_{\theta 1}) / [(F+H)\sigma_{\theta 1} - H\sigma_{m1}]^{-1} \quad (1.7)$$

где $d\varepsilon_m$, $d\varepsilon_\theta$ – приращения деформаций в меридиональном и окружном направлениях.

Подставляя значения (1.6) в формулу (1.4), получим

$$d\varepsilon_i = \psi_2 d\varepsilon_\theta \quad (1.8)$$

$$\psi_2 = (2/3)(F+G+H)[(F+H)\sigma_{\theta 1} - H\sigma_{m1}]^{-1} \quad (1.9)$$

Так как $d\varepsilon_z = ds/s$, $d\varepsilon_\theta = d\rho/\rho$, то уравнение равновесия тонкостенной конической оболочки [2] с учетом зависимостей (1.6) – (1.9) принимает вид

$$\rho d\sigma_{m1}/d\rho + \psi_2(1/\sigma_i)(d\sigma_i/d\varepsilon_i)\sigma_{m1} + \psi_3 = 0 \quad (1.10)$$

$$\psi_3 = (1 - \psi_1)\sigma_{m1} - (1 + \mu \operatorname{ctg} \alpha)\sigma_{\theta 1} \quad (1.11)$$

где ρ – радиус рассматриваемого элемента заготовки, s – текущая толщина заготовки, μ – коэффициент трения между заготовкой и инструментом, α – угол конусности матрицы.

Величины ψ_1 , ψ_2 и ψ_3 не зависят от деформации и для данного материала зависят от напряженного состояния.

Закон упрочнения материала примем в виде степенной функции $\sigma_i = C(\varepsilon_{i0} + \int d\varepsilon_i)^n$, где C и n – константы материала, ε_{i0} – интенсивность деформаций в начале очага деформации. Тогда уравнение (1.10) примет вид

$$d\sigma_{m1}/d\varepsilon_\theta + \left[n\psi_2 / \left(\varepsilon_{i0} + \int d\varepsilon_i \right) \right] \sigma_{m1} + \psi_3 = 0 \quad (1.12)$$

Очаг деформации разобьем на малые участки, в пределах каждого из которых напряженное состояние и свойства материала будем считать однородными. Для каждого элементарного участка величины σ_{m1} , ψ_1 , ψ_2 и ψ_3 определяются по среднему значению относительного меридионального напряжения на данном участке. Тогда из уравнения (1.12) для каждого элементарного участка получим

$$\Delta\varepsilon_\theta = -\psi_4 \pm (\psi_4^2 - \psi_5)^{1/2} \quad (1.13)$$

$$\psi_4 = (n\sigma_{m1} + (1/2)\Delta\sigma_{m1})/\psi_3 + \varepsilon_{i1}/\psi_2$$

$$\psi_5 = (2\Delta\sigma_{m1}/\psi_3)(\varepsilon_{i1}/\psi_2) \quad (1.14)$$

где ε_{i1} – интенсивность деформаций в начале рассматриваемого элементарного участка, равна сумме интенсивностей приращений деформаций на предыдущих участках, $\Delta\sigma_{m1}$, $\Delta\varepsilon_\theta$ – приращения относительного меридионального напряжения и окружной деформации на рассматриваемом участке.

В формуле (1.13) знак «плюс» относится к процессам протяжки и раздачи, а «минус» – к процессам волочения и обжима.

Для неупрочняющегося материала из уравнения (1.12) находим

$$\Delta\varepsilon_\theta = -\Delta\sigma_{m1}/\psi_3 \quad (1.15)$$

Для любого элементарного участка имеем

$$\frac{\rho}{R} = \exp \left(\sum_{j=1}^k \Delta\varepsilon_{\theta j} \right), \quad \frac{s}{s_0} = \exp \left(\sum_{j=1}^k -\psi_i \Delta\varepsilon_{\theta j} \right) \quad (1.16)$$

$$\varepsilon_i = \varepsilon_{i1} + \psi_2 \Delta\varepsilon_{\theta k} \quad (1.17)$$

где R и s_0 – радиус и толщина заготовки до деформации, k – номер участка, отсчитываемый от начала очага деформации.

Максимальное значение относительного меридионального напряжения получаем из зависимости (1.3) при $\sigma_\theta = \sigma_y = 0$:

$$\sigma_{m1}^{\max} = [(2/3)(F+G+H)(F+H)^{-1}]^{1/2} \quad (1.18)$$

Для упрочняющегося материала решается система уравнений (1.5), (1.7), (1.9), (1.11), (1.13), (1.14), (1.16) – (1.18), для неупрочняющегося материала – система уравнений (1.5), (1.7), (1.9), (1.11), (1.14) – (1.18).

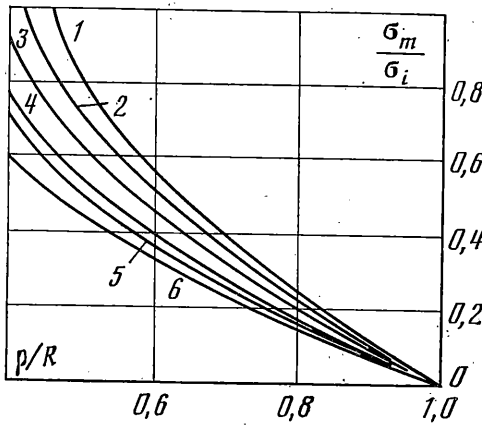
2. Численно решалась задача волочения трубы при: $\mu \operatorname{ctg} \alpha = 0$; $0,5$; $0,0$; $0,2$; $0,4$; $G/F = 0,5$; 1 ; 2 ; $H/F = 0,3$; $0,6$; 1 ; 2 ; 3 . Приращение напряжений принималось равным $\Delta\sigma_{m1} = 0,05$, в начале очага деформации полагалось $\varepsilon_{i0} = 0,002$ и $\sigma_{m1} = 0$.

На фиг. 1 показано распределение относительного меридионального напряжения σ_{m1} . Кривая 1 соответствует $H/F = 0,3$, $n = 0$; 2 – $H/F = 1$, $n = 0$; 3 – $H/F = 3$, $n = 0$; 4 – $H/F = 0,3$, $n = 0,4$; 5 – $H/F = 1$, $n = 0,4$; 6 – $H/F = 3$, $n = 0,4$. При изменении показателя упрочнения от 0 до 0,4 величина σ_{m1} уменьшается на 25–45%, при изменении отношения H/F от 0,3 до 3 – на 15–39%, при изменении G/F от 0,5 до 2 увеличивается на 16–50%, при изменении $\mu \operatorname{ctg} \alpha$ от 0 до 0,5 увеличивается на 27–48%. Распределение интенсивности деформаций ε_i аналогично распределению относительного меридионального напряжения.

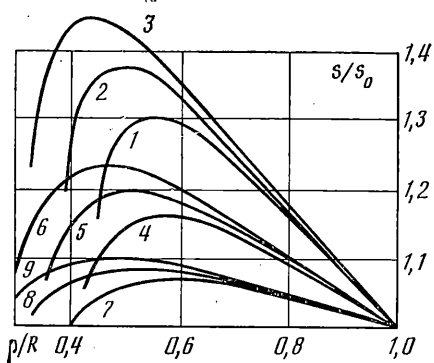
При изменении показателя n от 0 до 0,4 величина ε_i уменьшается на 3–34%, при изменении H/F от 0,3 до 3 – на 12–32%, при изменении G/F от 0,5 до 2 увеличивается на 18–63%, при изменении $\mu \operatorname{ctg} \alpha$ от 0 до 0,5 увеличивается на 1–13%. При отсутствии трения имеет место зависимость $\varepsilon_i = (1+n)\sigma_{m1}$.

На фиг. 2 представлены распределения относительной толщины s/s_0 . Кривая 1 соответствует $H/F = 0,3$, $n = 0$; 2 – $H/F = 0,3$, $n = 0,2$; 3 – $H/F = 0,3$, $n = 0,4$; 4 – $H/F = 1$, $n = 0$; 5 – $H/F = 1$, $n = 0,2$; 6 – $H/F = 1$, $n = 0,4$; 7 – $H/F = 3$, $n = 0$; 8 – $H/F = 3$, $n = 0,2$; 9 – $H/F = 3$, $n = 0,4$.

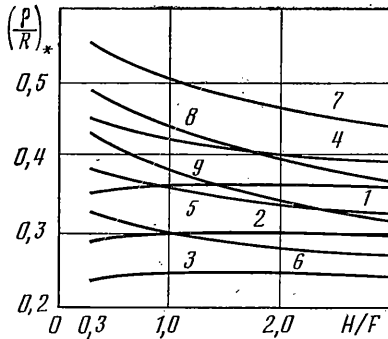
Зависимость s/s_0 от ρ/R имеет максимум. При изменении H/F от 0,3 до 3 относительный радиус, при котором имеет место максимальное значение толщины, увеличивается на 3–20%, при изменении G/F от 0,5 до 2 – на 36–100%, при изменении $\mu \operatorname{ctg} \alpha$ от 0 до 0,5 – на 6–41%, при изменении показателя n от 0 до 0,4 уменьшается на 10–29%. При увеличении показателя упрочнения n и уменьшении относительных H/F и G/F изменение толщины заготовки происходит более интенсивно. При изменении H/F от 0,3 до 3 величина максимума толщины уменьшается на 6–36%, при изменении G/F от 0,5 до 2 – на 4–30%, при изменении $\mu \operatorname{ctg} \alpha$ от 0 до 0,5 – на 2–13%, при изменении показателя упрочнения n от 0 до 0,4 увеличивается на 4,5–18%.



Фиг. 1



Фиг. 2



Фиг. 3

Для изотропного неупрочняющегося материала при отсутствии трения максимальная толщина имеет место при относительном радиусе $p/R=0,572$ и максимум относительной толщины равен 1,16, что согласуется с результатами [1].

Характер изменения критического относительного радиуса показан на фиг. 3. Критический относительный радиус $\rho^* = (\rho/R)_*$ представляет собой относительный радиус слоя, где окружное нормальное напряжение равно нулю. Кривая 1 соответствует $G/F=0,5$, $n=0$; 2 — $G/F=0,5$, $n=0,2$; 3 — $G/F=0,5$, $n=0,4$; 4 — $G/F=1$, $n=0$; 5 — $G/F=1$, $n=0,2$; 6 — $G/F=1$, $n=0,4$; 7 — $G/F=2$, $n=0$; 8 — $G/F=2$, $n=0,2$; 9 — $G/F=2$, $n=0,4$. При $\mu=0$ и изменении n от 0 до 0,4 величина ρ^* уменьшается на 22—33%, при изменении H/F от 0,3 до 3 и $G/F=0,5$ увеличивается на 3—4%, при $G/F=1$ уменьшается на 11—15,5%, при $G/F=2$ уменьшается на 18—25%. При изменении G/F от 0,5 до 2 радиус ρ^* увеличивается на 23—83%. При $\mu \operatorname{ctg} \alpha=0,5$ и изменении n от 0 до 0,4 величина ρ^* уменьшается на 19—30%. При изменении H/F от 0,3 до 3 и $G/F=2$ радиус ρ^* уменьшается на 15—17%, при $G/F=1$ — на 12—19%, при $G/F=0,5$ почти не изменяется. При изменении G/F от 0,5 до 2 радиус ρ^* увеличивается на 17—62%. При изменении $\mu \operatorname{ctg} \alpha$ от 0 до 0,5 величина ρ^* увеличивается на 16—36%. Для изотропного неупрочняющегося материала $\rho^*=0,425$, что совпадает с данными [4].

Таким образом, на распределение относительного меридионального напряжения существенное влияние оказывают все три фактора: упрочняемость и анизотропия механических свойств материала и трение между заготовкой и инструментом. На распределение интенсивности деформаций и толщины наиболее существенно влияет анизотропия механических свойств материала. На величину критического радиуса наиболее существенно влияет анизотропия механических свойств, а также показатель упрочнения материала и трение между заготовкой и инструментом.

ЛИТЕРАТУРА

- Соколовский В. В. Теория пластичности. М.: Высш. шк. 1969. 608 с.
- Малинин Н. Н. Волочение труб через конические матрицы // Изв. АН СССР. Механика. 1965. № 5. С. 122—124.
- Бубнова Л. В., Малинин Н. Н. Напряжения и деформации при формоизменении тонкостенных труб // Изв. вузов. Машиностроение. 1965. № 10. С. 199—203.
- Геогджаев Б. О. Волочение тонкостенных анизотропных труб сквозь коническую матрицу // Прикл. механика. 1968. Т. 4. № 2. С. 79—83.
- Хилл Р. Математическая теория пластичности. М.: Гостехиздат. 1956. 407 с.

Алма-Ата

Поступила в редакцию
8.VII.1985